

АНАЛИЗ ВЛИЯНИЯ РЕЖИМНЫХ ПАРАМЕТРОВ НА СОПРОТИВЛЕНИЕ ЭЛЕМЕНТОВ ПРОТОЧНОЙ ЧАСТИ ГИДРОЭЛЕВАТОРОВ

Яковлев В.М., канд. техн. наук, доцент

Дальневосточный национальный технический университет

В результате экспериментального определения потерь энтропии в камере смешения и в диффузоре гидроэлеваторов различных моделей установлено и количественно оценено влияние режимных параметров на сопротивление этих элементов проточной части.

As a result of experimental defining of power losses in the mixing chamber and different models hydro-elevators diffuser, the degree of influence of mode parameters on the flow-through part elements resistance is made and quantitatively assessed.

Проблемы и ее связь с научными и практическими задачами.

Использование водоструйных насосов-гидроэлеваторов в промышленности зачастую ограничивается сравнительно низким значением КПД. Определяющее влияние на их эффективность оказывают потери при передаче энергии в камере смешения и в диффузоре. Как эффективны сконструированный этих, расположенных рядом, элементов, необходимых для расчета и построения характеристик гидроэлеваторов, теоретически определить не представляется возможным, вследствие их зависимости от структуры потоков и взаимного влияния друг на друга. Для экспериментального их определения необходимо минимизировать потери энергии в отдельных элементах проточной части.

Анализ исследованной и публикаций.

Вопросами определения рациональных геометрических параметров проточной части гидроэлеваторов, обеспечивающих минимальные потери энергии при перемешивании потоков, посвящены работы многих авторов. В работах [1,2] сделан важный вывод о том, что наиболее рациональной формой смесительной камеры струйных насосов является цилиндрическая и нельзя использовать усиление минимума потерь (равенство полужестким производной функции потерь по скорости в юбке камеры смешения) для струйных насосов с диффузором, т.к. в нем процесс перемешивания потоков продолжается. В работе [3] автором впервые предложено использовать для гидроэлеваторов ступенчатого диффузора с различными углами раскры-

такой ступеней. В работе [4] интерес представляет исследование сходимости зернистого потока в гидроэлеваторе. Однако, не ясно как было произведено экспериментальное определение отдельных видов потерь. Приведенные качественные результаты исследований не позволяют проследить количественную связь влияния режимных параметров на значение коэффициентов сопротивления элементов промежуточной части.

Поставленные задачи:

Анализ данных приведенных в литературных источниках, позволяет сформулировать основные задачи предложенного исследования:

- разработать методику экспериментального определения потерь энергии в камере смешения и диффузоре, обеспечивающую возможность получения качественной оценки влияния режимных параметров на сопротивление этих элементов промежуточной части гидроэлеватора;

- получить зависимости для определения коэффициентов сопротивления элементов промежуточной части, необходимых для расчета и построения характеристик гидроэлеваторов.

Источники информации и результаты:

Методика проведения эксперимента заключалась в проведении замеров параметров рабочих режимов гидроэлеваторов различных модулей, позволяющих определить мощность потоков жидкости на входе и выходе камеры смешения и на выходе диффузора.

Потери мощности в камере смешения определялись как разность мощностей потока на входе и выходе из НС.

Мощность потока на входе в камеру смешения определялась по зависимости:

$$N_{\text{кн}} = \left(P_{\text{ин}} + \frac{\rho g V_1^2}{2} \right) Q_1 + \left(P_{\text{ек}} + \frac{\rho g V_2^2}{2} \right) Q_2, \quad (1)$$

где $P_{\text{ин}}$ – давление в начальном сечении камеры;

Q_1 и Q_2 – соответственно, расходы рабочей и транспортируемой жидкостей;

V_1 и V_2 – скорости рабочей и транспортируемой жидкостей;

ρ – плотность жидкости.

При подсчете коэффициенты Карнольса принятые равным единице и сечение дросселинга в равенстве диаметра струи рабочей жидкости диаметру насадки. Принятое дросселинге не вносит существенных погрешностей в расчет, т.к. рассечение от насадки до начала камеры смешения составляет $\approx 1,5$ м.

Мощность потока в хвостовом сечении камеры смешения подсчитывалась по зависимости:

$$\lambda_{\text{дл}}^r = \left(P_{\text{вх}} + \frac{\rho u^2}{2} \right) (G_1 + G_2) \quad (2)$$

где $P_{\text{вх}}$ – давление в выходном сечении камеры;

α – коэффициент Корнолиса потока в этом сечении.

Давление и коэффициент Корнолиса потока определялись с помощью трубки Пито-Прандтля. В каждом режиме рабочих гидролеваторов камера измерялась в пяти точках сечения камеры смешения. По результатам замеров строились эпюры скорости потока и подсчитывались коэффициенты Корнолиса:

$$\alpha = \frac{\int_{\text{р}} u^3 dF}{U^3 \cdot \Delta F} \quad (3)$$

Интегрирование по площади производилось графическим методом.

На рисунках 1 представлены эпюры скорости потока на входе в диффузор, полученные для разных режимов работы гидролеватора с модулем 14,8 при постоянной скорости истечения струи рабочей жидкости. Аналогичные эпюры были получены для гидролеваторов других модулей при разных начальных скоростях истечения струи рабочей жидкости.

Эксперименты проведены на гидролеваторах с диаметрами камеры смешения - 30 и 35 мм при их оптимальных длинах, значения которых были определены в ранее проведенных экспериментах.

При расчетах применялся стационарный поток, который для указанных диаметров камер и диаметре трубки Пито-Прандтля равнялся четырем миллиметрам, составляло 2,8 % и 1,3 %. Модули исследуемых гидролеваторов составляли 10,8 и 14,8 при диаметре камеры - 30 мм и 6,25 при диаметре камеры - 35 мм. Скорость истечения струи рабочей жидкости колебалась от 25 м/с до 42 м/с.

Коэффициент сопротивления ванжеров сечения подсчитывали как отношение экспериментально определяемых потерь мощности к потерям мощности, определяемой по общепринятой зависимости Барна-Карно:

$$\Delta V_{\text{распр}} = \rho g \left[\phi_1 \frac{V_1 - V_{\infty} F}{2g} + \phi_2 \frac{(V_2 - V_1) F}{2g} \right] \quad (4)$$

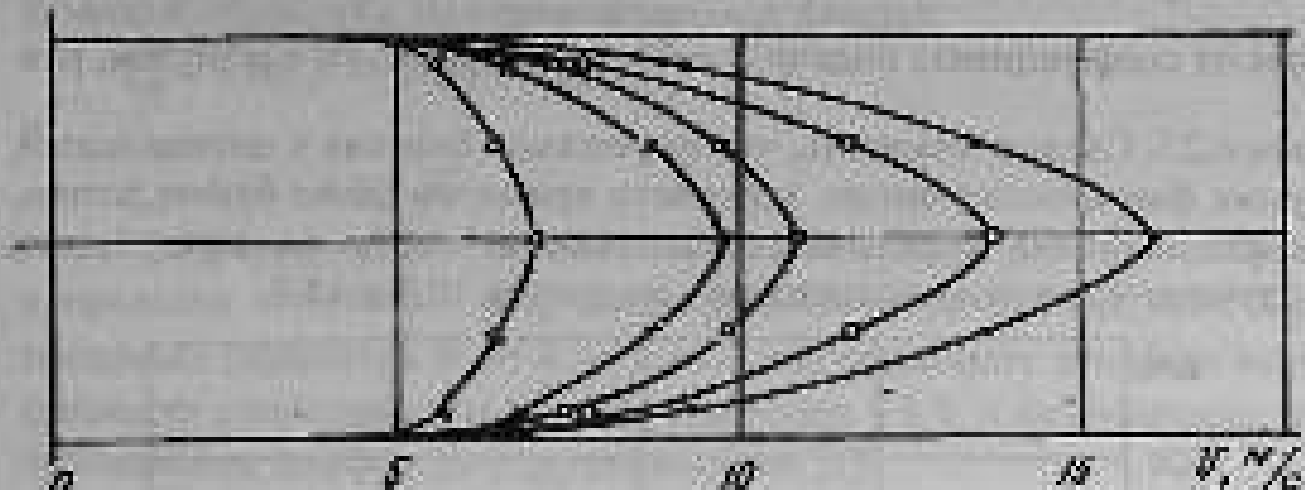


Рис. 1. Эпюры скорости потока на входе в диффузор для различных режимов работы гидроинжектора

Коэффициент сопротивления диффузора подсчитывался по уравнению:

$$\xi_D = \frac{\Delta H_2}{V_{\infty}^2} \quad (5)$$

где ΔH_2 – разность изолиний напоров потока на входе в диффузор и его выходе. При определении истинного напора на выходе диффузора коэффициент Киркенса принимался равным $\beta = 1,1$ (диаметры давлений трубопровода и трубы отвода на расстояниях двух диаметров трубопровода от выходного сечения диффузора). Результаты эксперимента показали, что фактические потери мощности в клинере смыкания меньше потерь, имеющихся по уравнению Борда-Карно, а фактические потери в диффузоре бóльшие, чем рассчитываемые по уравнению:

$$\Delta H_{Dp} = \xi_{Dp} \cdot \frac{V^2}{2g} \quad (6)$$

где ξ_{Dp} – расчетное значение коэффициента сопротивления конкретного диффузора, определяемого по [5]. Это объясняется тем, что процесс перемещения потоков не завершается в клинере и продолжает-

ся в диффузоре. Причем, степень независимости процесса в камере повышается с ростом скорости транспортируемого потока на входе в камеру смешения. На рисунке 2. показаны зависимости расчетных и фактических относительных (отнесенных к мощности потока рабочей воды перед насадкой) потерь мощности в камере смешения и диффузоре от коэффициента подачи $\beta = \frac{Q_2}{Q_1}$ гидролизатора с насадкой, равным 6,25. Следует отметить, что во всех трех режимах, близких к оптимальным, сумма фактических потерь мощности приблизительно равна сумме потерь, исчисленных теоретически. Качественно аналогичные результаты получены и для гидролизаторов с модулями 10,8 и 14,8.

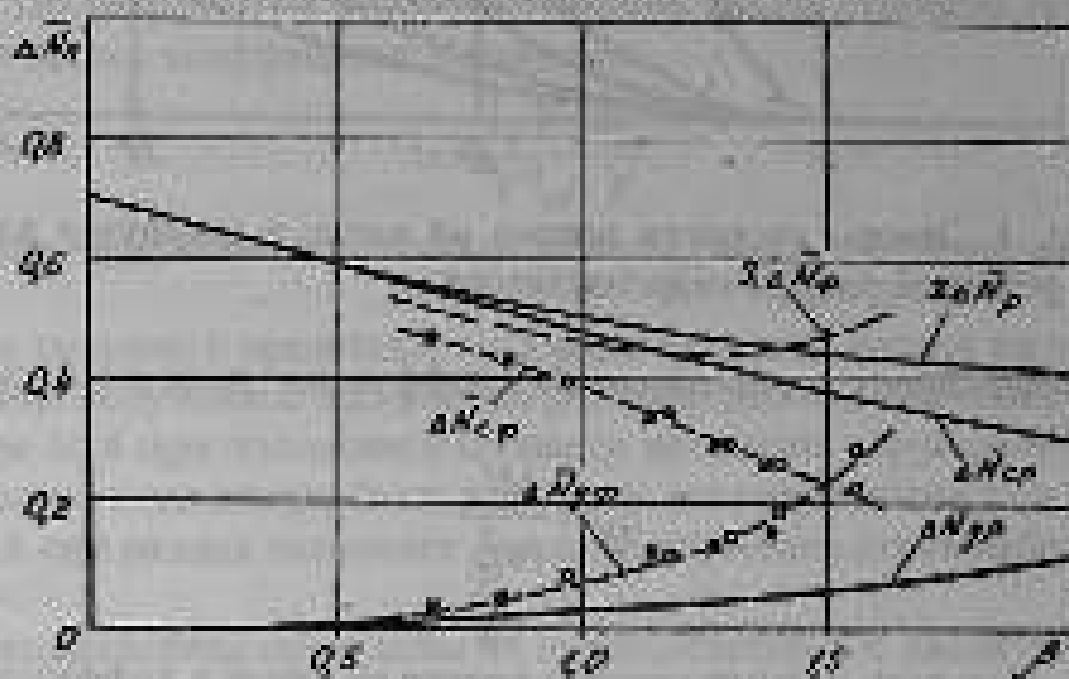


Рис. 2. Зависимости расчетных и фактических потерь мощности

Таким образом, экспериментальными доказано, что распределение фактических потерь мощности в элементах проточной части не соответствует имеющимся представлениям. Процесс перемещения потоков жидкостей в гидролизаторе не зависит для различных режимов его работы. Поэтому коэффициенты сопротивления камеры смешения и диффузора зависят и от геометрической формы проточной части гидролизатора, и от режима его работы. Результаты эксперимента оказалось удобным представить в виде зависимостей коэффициентов сопротивлений этих элементов от относения скоростей транспортируемого и рабочего потоков на входе в камеру смешения

$\beta = \frac{V_2}{V_1} - \frac{\rho}{m-1}$, характеризующего рабочий режим и основной геометрический параметр гидроттвентора. Уравнения для подсчета значений коэффициентов сопротивления получены в результате математической обработки экспериментальных данных:

$$\xi_d = 5,76 \cdot \beta - 9,46 \beta^2 - 0,36$$

и

$$\xi_v = 1,03 - 4,75 \cdot \beta^2$$

Уравнения адекватно отсылают экспериментальный материал в пределах изменения безразмерного параметра $0,1 \leq \beta \leq 0,31$. При значениях параметра β от 0 до 0,1 можно принимать значение коэффициента сопротивления камеры смешения - 1,0, а коэффициент сопротивления диффузора подсчитывать по [5].

Лимиты. Анализ результатов проведенного эксперимента показывает, что удельный вес потерь мощности в диффузоре исходящего гидроттвентора при значениях модуля $6,25 \dots 14,8$ составляет, соответственно, 70...50 % всех потерь и оказывает определяющее влияние на его эффективность. Геометрическая форма диффузора исходящего гидроттвентора в какой-то степени приближается к форме диффузора с кризалипейной обрывкой, обеспечивающей пространство традионта давления по длине и безотрывность движения потока жидкости. Однако, высокая степень неравномерности падения скорости потока на выходе из камеры смешения снижает эффективность такого диффузора. Разработка специальной формы диффузора или использование различных способов подготовки потока от его стенок, позволит существенно повысить эффективность гидроттвенторов, особенно малых ($4 \dots 16$) модулей.

Список источников:

- Барышев П.Д. К расчету струйных аппаратов (акустиков и гидроакустиков). Вестник техники и технологии, 1938. - №2. - с.101-103.
- Барышев П.Д. Бык оribле струйных аппаратов (акустиков и гидроакустиков) вспомогательные материалы, 1939. - №1. - с.93-95.
- Константин П.Ж. гидроакустеры и другие струйные аппараты. - М.: Министростехиздат, 1950. Заголовок.
- Насонов Д.Г., Европейская Ю.В. Расчет струйных аппаратов и установок // ЭНИИгидромаш. Вып.38, №1, 1968. - с. 64-96.
- Исаев Г.Е. Гидроакустические сопротивления. Физико-механические основы. - М.: Гидростандарт, 1951. - с. 84-93.

Лиши получили статуса рецензии: 31.10.06